## ЭЛЕКТРОВЗРЫВНЫЕ МЕТОДЫ ПОЛУЧЕНИЯ УГЛЕРОДНЫХ НАНОМАТЕРИАЛОВ

# Рудь А. Д.\*, Перекос А. Е., Чуистов К. В., Шпак А. П., Уваров В. Н., Войнаш В.З., Огенко В. М. $^{(1)}$ , Кускова Н. И. $^{(2)}$ , Ищенко Ж. Н. $^{(2)}$

Институт металлофизики НАНУ, булв. ак. Вернадского, 36, 03142, Киев, Украина <sup>(1)</sup>Институт общей и неорганической химии НАНУ, пр. ак. Палладина, 32/34, 03142, Киев, Украина <sup>(2)</sup>Институт импульсных процессов и технологий НАНУ, пр. Октябрьский, 43а, 54018, Николаев, Украина

\* Факс: 38 (044) 424 2561E-mail: rud@imp.kiev.ua

#### Введение

Уникальные физико-химические и механические свойства новых углеродных форм углерода, таких как фуллерены и нанотрубки, вызывают значительный интерес исследователей с момента их открытия. Несмотря на значительное число работ в этой области, актуальными остаются проблемы эффективности синтеза углеродных наноматериалов (УНМ), их разделения и очистки.

В настоящей работе изучалась возможность получения УНМ (фуллеренов, нанотрубок, аморфного углерода и др.) методами высокоэнергетического плазмохимического синтеза, а именно — методами электрическогов взрыва проводников (ЭВП) и электроискрового диспергирования (ЭИД).

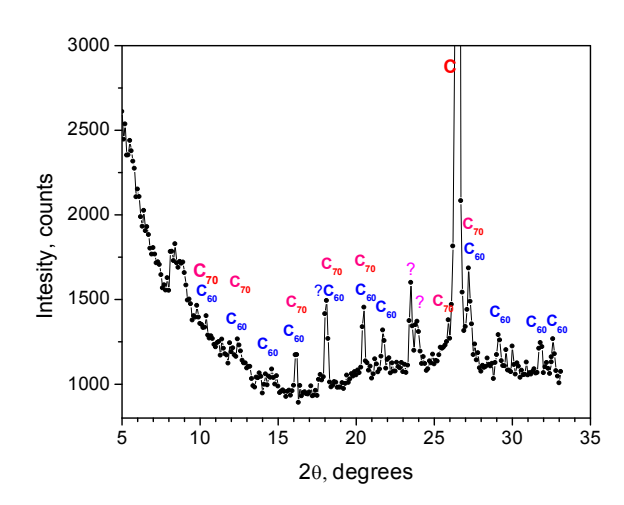
### Результаты и их обсуждение

Для получения УНМ методами ЭВП и ЭИД были использованы химически чистые исходные материалы (99,99%). Рентгеновские исследования выполнены на стандартном дифрактометре HZG-4 в Cu  $K_{\alpha}$  излучении. Электронная микроскопия проведена микроскопе Hitachi H-800 c рабочим напряжением 200 кВ. Масс-спектроскопические исследования методом полевой десорбции проводили на масс-спектрометре высокого разрешения МХ-1320.

На Рис. 1-4 и приведены результаты исследований продуктов ЭВП. В Табл. 1 сведены результаты масс-спектроскопических исследований продуктов ЭВП различных Типичные материалов. рентгеновские дифрактограммы продуктов взрыва графита и никеля в толуоле показаны на Рис. 1 и Рис. 2, соответственно. На малых углах на этих дифрактограммах максимумов, кроме характерных для графита и никеля, видны дополнительные Этот пики. факт свидетельствует о наличии новых композиций продуктах взрыва. Фазовый полученных веществ позволил отнести их к фуллереноподобным структурам типа  $C_{60}$ - $C_{70}$ . На электронных микрофотографиях как жидкой фракции, так и депозита видны дисперсные наноразмерные частицы аморфного углерода, скопления нанотрубок и отдельные нанотрубки (Рис. 3).

**Табл. 1.** Масс-спектральный состав фуллереноподобных кластеров, полученных ЭВП различных материалов в толуоле при напряжении взрыва 4,5 кВ

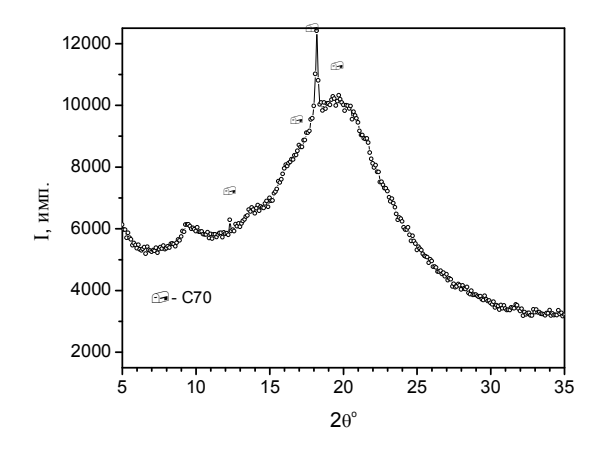
$N_{\underline{0}}$	Материал	Спектральный состав
	взрыва	
1	С	463, 493, 542, 576, 658,740,
		768, 852, 875, 919
2	Fe	304, 316, 328, 344, 356, 368,
		721, 864
3	Ni	532, 560, 589, 623, 860



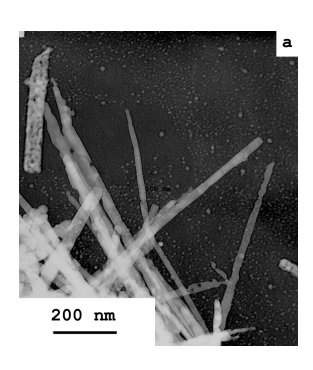
**Рис. 1.** Фрагмент дифрактограммы продуктов взрыва графита в толуоле при напряжении взрыва 4,5 кВ.

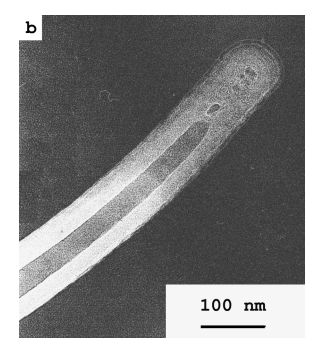
Интересен факт получения фуллеренов без использования графита как материала синтеза (Табл. 1, Рис. 2). Такой результат может быть объяснен деструкцией окружающей органической жидкости (толуол, бензол, бензин, спирт И др.) c последующей

формированием из продуктов деструкции УНМ в условиях высокоэнергетического плазмо-химического синтеза (температура и давление достигают значений 10<sup>4</sup> К и 300-500 МРа, соответственно). Подбор материала среды и параметров взрыва позволяют эффективно варьировать состав синтезируемых материалов. Интересна возможность получения алмазоподобных наноматериалов в этих условиях. Ряд пиков на рентгенограммах синтезированных нами материалов соответствуют пикам алмаза. Однако это предположение требует дальнейших исследований другими методами, т.к. угловые положения наиболее интенсивных рентгеновских пиков графита и алмаза близки.



**Рис. 2.** Фрагмент дифрактограммы продуктов взрыва никеля в толуоле при напряжении взрыва  $4,5~\mathrm{kB}$ 

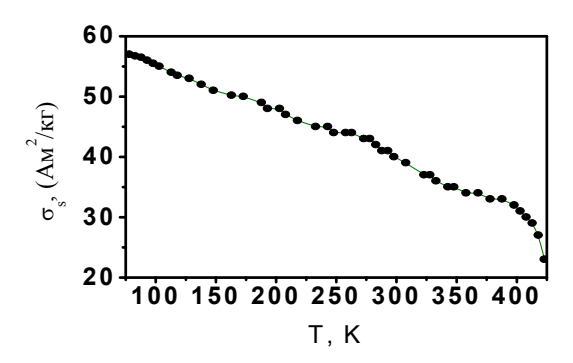




**Рис. 3.** Электронная микрофотография продуктов взрыва:

- а) скопление нанотрубок,
- б) отдельная многостенная нанотрубка

Отметим, что продукты ЭВ графита во многих случаях обладают ферромагнитными свойствами. Типичная для этих материалов температурная зависимость удельной намагниченности показана на (Рис.4).



**Рис. 4.** Температурная зависимость удельной намагниченности продуктов взрыва графита

В работе также исследовалась возможность получения УНМ методом ЭИД. Этот метод достаточно продуктивен и может быть использован для в прмышленных условиях. Масс-спектральный состав материалов, полученных электроискровой эрозией графитового электрода в различных средах, представлен в Табл. 2. Видно, что метод ЭИД также позволяет получать широкий спектр фуллереноподобных структур.

**Таблица 2**. Масс-спектральный состав фуллереноподобных кластеров, полученных методом ЭИД.

№	Среда	Масс-спектральный состав
1	этанол	363, 376, 390, 404, 418, 432
2	бензин	447, 474, 477, 502, 532, 558
3	толуол	477, 506, 533, 561, 604, 828,
	-	858, 881, 885

#### Выводы

- 1. Развиты методы получения новых углеродных материалов (фуллуренов, нанотрубок, углеродных нанокластеров) методами электрического взрыва проводников и электроискрового диспергирования графита и металлических материалов (железо, никель, медь) в органических средах.
- 2. Эти методы позволяют получать широкий спектр фуллереноподобных материалов, включая массивные  $C_{70}$  и выше (до 1338 а.м.е. в нашем случае). Получены фуллерены без использования графита, как материала синтеза. Показана возможность эффективного управления масс-спектральным составом продуктов синтеза варьированием энергетических параметров, материалов проводников и рабочей среды.